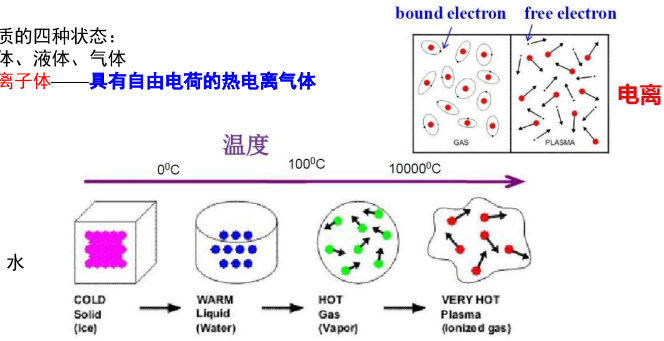


7-表面等离子体 有回顾总结

- 等离子体的特征 P3
- 等离子体和普通气体的异同 P4
- 等离子体的共振3种形式 P5
- 金属光学性质-Drude模型 P8
- 等离子体频率 P10
- (重点) 频率讨论 P12-P18
- wp处k=0发生能带跃迁进而修正Drude模型 P21
- 实际的金属介电函数谱(两部分组成) P22
- (重点: 在wp处发生了什么) 体积等离子体共振 P25-P26
- 体积等离子体共振的特征 P27-29
- (重点) 光频段不能激发体积等离子体激元 P30+P12

等离子体的特征

物质的四种状态:  
固体、液体、气体  
等离子体——具有自由电荷的热电离气体



- 如果对气体持续加热,使分子分解为原子并发生电离,就形成了由离子、电子和中性粒子组成的气体,这种状态称为**等离子体**。
- 除了加热之外,还可以利用如加上强电磁场等方法使其解离。

Plasma

金属中的等离子体

固体、液体、气体通常温度过低,密度过大,导致没有等离子体存在

在室温下能得到等离子体吗?

金属: 自由电子+正离子

- 电解质溶液: 正、负离子——液态等离子体
- 半导体: 电子和空穴——固态等离子体

等离子体

三种等离子体共振形式:

- 体积等离子体激元
- 表面等离子体激元
- 局域表面等离子体激元

都由自由运动的带电粒子组成,且整体呈电中性

金属光学性质——电子位移产生极化

自由电子的运动方程:

$$m\ddot{\mathbf{r}} + m\gamma\dot{\mathbf{r}} + K\mathbf{r} = -e\mathbf{E}$$

$m$  - 电子质量  
 $\gamma$  - 阻尼频率 (~100 THz)

也可以像 Lorentz 模型一样求解 电子不受束缚,没有固有频率 $\omega_0$

对时间谐振  $E(t) = E_0 \exp(-i\omega t)$ , 有时间谐振解  $r(t) = r_0 \exp(-i\omega t)$

代入上式,解为:

$$\mathbf{r} = \frac{e/m}{\omega^2 + i\omega\gamma} \mathbf{E}$$

则可以得到宏观极化矢量:

$$\mathbf{P} = N\mathbf{p} = -Ner = -\frac{Ne^2/m}{\omega^2 + i\omega\gamma} \mathbf{E}$$

$N$  - 电子密度

本讲内容

1. 什么是等离子体?
  - 宇宙中的等离子体
  - 金属中的等离子体
2. 金属光学性质
  - Drude模型
  - 等离子体频率对应的介电常数 $\epsilon$
3. 等离子体激元
  - 体积等离子体激元的物理本质
  - 体积等离子体激元的性质
  - 体积等离子体激元的应用 P33

Outline

02

等离子体和普通气体性质不同

普通气体:

由分子构成,分子之间相互作用力是短程力,仅当分子碰撞时,分子之间的相互作用力才有明显效果。

等离子体:

1. 带电粒子之间的库仑力是长程力,库仑力的作用效果远远超过带电粒子可能发生的局部碰撞效果;
2. 等离子体中的带电粒子运动时,能引起正电荷或负电荷局部集中,产生电场;电荷定向运动引起电流,产生磁场;
3. 电场和磁场会影响其他带电粒子的运动,并伴随着极强的热辐射和热传导;
4. 等离子体在运动过程中一般都表现出明显的集体行为。

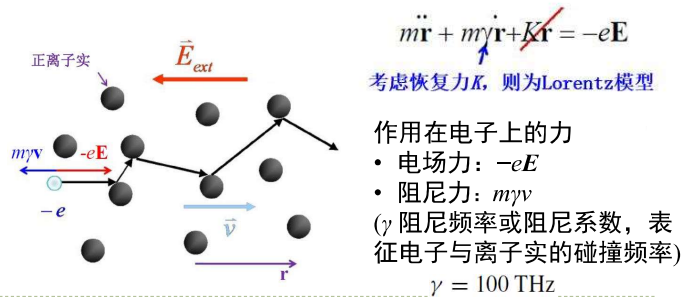
等离子体的这些特性使它区别于普通气体被称为物质的第四态

- 带负电的可以自由运动的电子+带正电的不动的正离子
- 一种等离子体

金属光学性质——Drude模型

- 金属的光响应是由自由电子的行为决定的
- 在外场  $E$  作用下,自由电子可以被看做没有回复力的谐振子

外电场  $E(t) = E_0 \exp(-i\omega t)$ , 自由电子的运动方程:



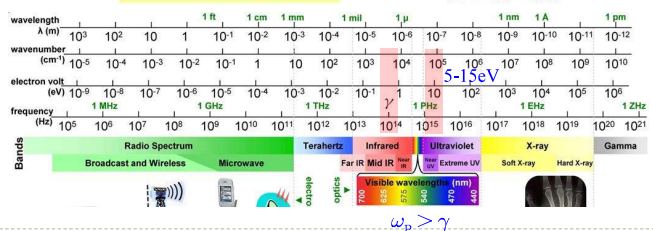
金属光学性质——等离子体频率

可以导出介电常数:

电位移=真空电位移+极化矢量

$$\mathbf{P} = -Ner = -\frac{Ne^2/m}{\omega^2 + i\omega\gamma} \mathbf{E} \Rightarrow \mathbf{D} = \epsilon_0 \mathbf{E} + \mathbf{P} = \epsilon_0 \epsilon \mathbf{E}$$

$$\epsilon(\omega) = 1 - \frac{\omega_p^2}{\omega^2 + i\omega\gamma} \quad \omega_p = \sqrt{\frac{Ne^2}{\epsilon_0 m}} \quad (\text{等离子体频率})$$



01

03

05

09

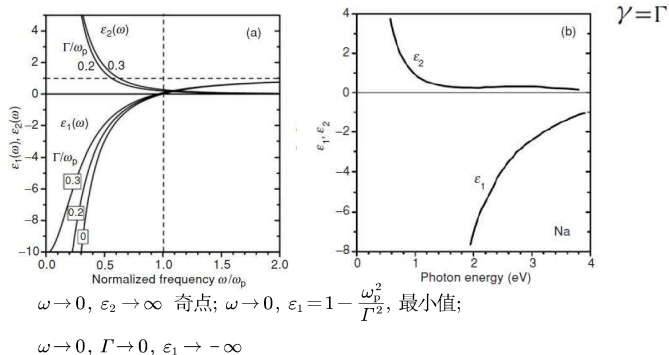
04

08

10

## 金属光学性质——介电函数谱

$$\varepsilon(\omega) = 1 - \frac{\omega_p^2}{\omega^2 + i\Gamma\omega} = 1 - \frac{\omega_p^2}{\omega^2 + \Gamma^2} + i \frac{\omega_p^2\Gamma}{\omega(\omega^2 + \Gamma^2)} \equiv \varepsilon_1(\omega) + i\varepsilon_2(\omega).$$



11

## 自由电子色散曲线

横电磁波满足

$$k = \sqrt{\varepsilon} \frac{\omega}{c} \Rightarrow \varepsilon = k^2 \frac{c^2}{\omega^2}$$

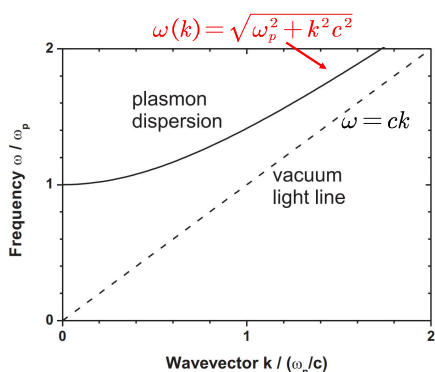
$$\text{代入 } \varepsilon = 1 - \frac{\omega_p^2}{\omega^2}$$

$$\Rightarrow k^2 \frac{c^2}{\omega^2} = 1 - \frac{\omega_p^2}{\omega^2}$$

$$\Rightarrow \omega(k) = \sqrt{\omega_p^2 + k^2 c^2}$$

等离子体色散关系

$$\omega > \omega_p$$



13

## 讨论——光频

金属中的电场:

$$\mathbf{E} = \mathbf{E}_0 \exp(i\mathbf{k} \cdot \mathbf{r}) = \mathbf{E}_0 \exp(in\mathbf{k}_0 \cdot \mathbf{r}) = \mathbf{E}_0 \exp(-n''\mathbf{k}_0 \cdot \mathbf{r})$$

趋肤深度  $\delta$ : 当振幅下降为1/e时, 波传播的距离

衰减因子

$$n''k_0\delta = 1 \text{ 即: } n'' \frac{\omega}{c} \delta = 1 \Rightarrow \delta = \frac{cn''}{\omega}$$

→ 金属中的场指数衰减

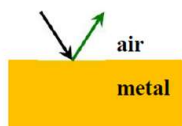
$$\text{光垂直入射的反射率: } R = \frac{(n' - 1)^2 + n''^2}{(n' + 1)^2 + n''^2}$$

非理想金属:  $\gamma \neq 0, R \approx 1$

理想金属:  $\gamma = 0, R = 1$

→ 金属表面高反射

镜子



15

## 讨论——低频

趋肤深度  $\delta = cn''/\omega$

→ 金属中的场迅速衰减

$$\text{光垂直入射的反射率: } R = \frac{(n' - 1)^2 + n''^2}{(n' + 1)^2 + n''^2}$$

$$n' = n'' = \sqrt{\frac{\omega_p}{2\omega}} \gg 1$$

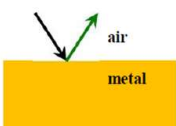
因此:

$$R \approx \frac{n'^2 + n''^2}{n'^2 + n''^2} = 1$$

→ 金属表面高反射率

→ 当  $\omega$  很低时 → 理想导体

金属谐振腔、微波波导



17

## 讨论——高频

通常情况:

$$\varepsilon(\omega) = 1 - \frac{\omega_p^2}{\omega^2 + i\gamma\omega}$$

高频 ( $\omega \gg \gamma$ ):

$$\varepsilon(\omega) \approx 1 - \frac{\omega_p^2}{\omega^2}$$

① 对于高频  $\omega > \omega_p$ :

$$\rightarrow \varepsilon > 0 \text{ and } \varepsilon < 1$$

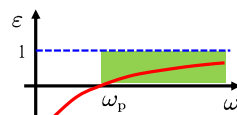
→ 折射率  $n = \sqrt{\varepsilon} = n' + in''$  为实数 ( $n' > 0, n'' = 0$ )

金属中的电场:  $\mathbf{E} = \mathbf{E}_0 \exp(in'\mathbf{k}_0 \cdot \mathbf{r})$

→ 金属是透明的 (像电介质)

$$n < 1$$

$$v_p = \frac{c}{n} > c$$



12

通常情况:

$$\varepsilon(\omega) = 1 - \frac{\omega_p^2}{\omega^2 + i\gamma\omega}$$

高频 ( $\omega \gg \gamma$ ):

$$\varepsilon(\omega) \approx 1 - \frac{\omega_p^2}{\omega^2}$$

## 讨论——光频

② 对光频  $\gamma \ll \omega < \omega_p$ :

$$\rightarrow \varepsilon < 0$$

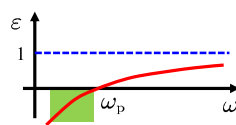
→ 折射率  $n = \sqrt{\varepsilon} = n' + in''$  是复数

$$n'^2 - n''^2 + 2in'n'' \approx 1 - \frac{\omega_p^2}{\omega^2}$$

$$\Rightarrow \begin{cases} n'^2 - n''^2 = 1 - \frac{\omega_p^2}{\omega^2} < 0 \\ n'n'' = 0 \end{cases}$$

$$\Rightarrow \begin{cases} n'' = \sqrt{\frac{\omega_p^2}{\omega^2} - 1} \\ n' = 0 \end{cases}$$

对于  $\gamma \neq 0, n' \approx 0, n'' > 0$



14

## 讨论——低频

通常情况:

$$\varepsilon(\omega) = 1 - \frac{\omega_p^2}{\omega^2 + i\gamma\omega}$$

高频 ( $\omega \gg \gamma$ ):

$$\varepsilon(\omega) \approx 1 - \frac{\omega_p^2}{\omega^2}$$

③ 对低频  $\omega \ll \gamma$ :

$$\varepsilon(\omega) = \varepsilon'(\omega) + i\varepsilon''(\omega)$$

$$\varepsilon = 1 - \frac{\omega_p^2}{\omega^2 + \gamma^2} + i \frac{\omega_p^2\gamma}{\omega(\omega^2 + \gamma^2)}$$

$$\approx 1 - \frac{\omega_p^2}{\gamma^2} + i \frac{\omega_p^2}{\omega\gamma}$$

$$\text{假定: } \gamma \approx \omega_p \Rightarrow \varepsilon \approx i \frac{\omega_p}{\omega} \text{ 即: } \varepsilon' = 0, \varepsilon'' = \frac{\omega_p}{\omega}$$

$$\text{由 } n^2 = \varepsilon \Rightarrow n' = n'' = \sqrt{\frac{\varepsilon''}{2}} = \sqrt{\frac{\omega_p}{2\omega}}$$

衰减场

金属中的电场:  $\mathbf{E} = \mathbf{E}_0 \exp(in'\mathbf{k}_0 \cdot \mathbf{r}) = \mathbf{E}_0 \exp(in''\mathbf{k}_0 \cdot \mathbf{r}) \exp(-n''\mathbf{k}_0 \cdot \mathbf{r})$

16

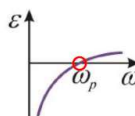
## 特殊点

通常情况:

$$\varepsilon(\omega) = 1 - \frac{\omega_p^2}{\omega^2 + i\gamma\omega}$$

高频 ( $\omega \gg \gamma$ ):

$$\varepsilon(\omega) \approx 1 - \frac{\omega_p^2}{\omega^2}$$



④ 在等离子体频率  $\omega \approx \omega_p$ :

$$\rightarrow \varepsilon \approx 0$$

$$\rightarrow \text{折射率 } n = \sqrt{\varepsilon} \approx 0$$

$$\rightarrow \text{波数 } k = nk_0 \approx 0 \quad k = \frac{2\pi}{\lambda} = 0 \Rightarrow \lambda \rightarrow \infty$$

这意味着什么? 没有传导波吗?

18

## 理想金属介电谱

$$\varepsilon(\omega) = 1 - \frac{\omega_p^2}{\omega^2 + i\gamma\omega}$$

$$= 1 - \frac{\omega_p^2}{\omega^2 + \gamma^2} + i \frac{\omega_p^2}{\omega(\omega^2 + \gamma^2)}$$

$$\varepsilon_1 = 1 - \frac{\omega_p^2}{\omega^2 + \gamma^2}$$

$$\varepsilon_2 = \frac{\omega_p^2}{\omega(\omega^2 + \gamma^2)}$$

可见光频率:

$4.2 \times 10^{14} - 7.8 \times 10^{14}$  Hz

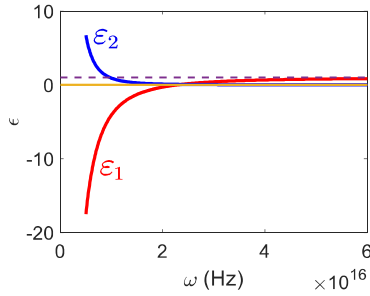
对应角频率:

$2.6 \times 10^{15} - 4.9 \times 10^{15}$  Hz

金属Sb的参数:

$$\omega_p = 2.29 \times 10^{16} \text{ Hz}$$

$$\gamma = 1.82 \times 10^{15} \text{ Hz}$$

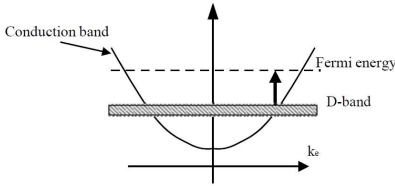


19

## 实际金属介电函数谱——自由电子+束缚电子

原因是: 发生了能带跃迁

- 金属内壳层的电子被高能光子激发
- 常见于贵金属、过渡金属, 如Au, Ag, Cu等
- 需要对Drude模型做修正
- 发生跃迁, 对于固有频率, 即对应Lorentz模型的振荡补充项



$$\varepsilon(\omega) = 1 - \frac{\omega_p^2}{\omega^2 + i\omega\gamma} + \sum_j \frac{\omega_{jp}^2}{\omega_{j0}^2 - \omega^2 - i\omega\gamma_j}$$

21

## 体积等离子体共振

在等离子体频率 $\omega_p$ 处会发生什么?

▶ 在等离子体频率 $\omega = \omega_p$ , 有  $\varepsilon(\omega_p) \approx 0$

▶ 看看波动方程:  $k(k \cdot E) - k^2 E = -\varepsilon \frac{\omega^2}{c^2} E$

• 如果是横波,  $k \cdot E = 0 \rightarrow k = \sqrt{\varepsilon} \frac{\omega}{c} \equiv nk_0, \varepsilon \neq 0$

• 如果是纵波,  $k \parallel E \rightarrow k(k \cdot E) = k^2 E \rightarrow \varepsilon = 0$

所以在 $\omega_p$ , 只有自由电子的集体纵向振荡存在!

- 被称为**体积等离子体共振**!

电荷共振的量子化称为**等离激元 Plasmon**  
振荡方向与电场方向平行

Volume plasmon

25

## 体积等离子体共振——特征

(1) 纵波  
 $k/E$

满足波动方程

$$k(k \cdot E) - k^2 E = -\varepsilon \frac{\omega^2}{c^2} E$$

E要有非零解, 只能 $\varepsilon=0$

(2) 没有 E和H之间相互作用 → 没有电磁场

$$\nabla \times E = -\frac{\partial B}{\partial t} \Rightarrow k \times E = \omega \mu H$$

$$\because k \parallel E, \therefore k \times E = 0 \Rightarrow H$$

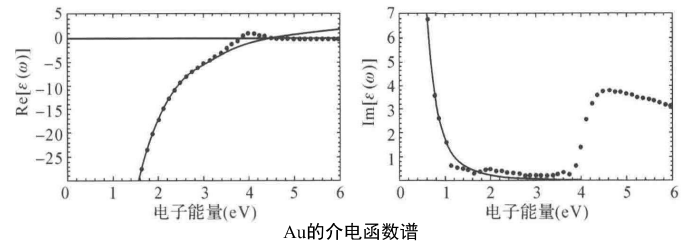
(3) 发生的振荡衰减只能通过能量传递给单个电子, 被称为**朗道阻尼**

不与横向电磁波耦合作用!

Volume plasmon

27

## 实际金属介电函数谱



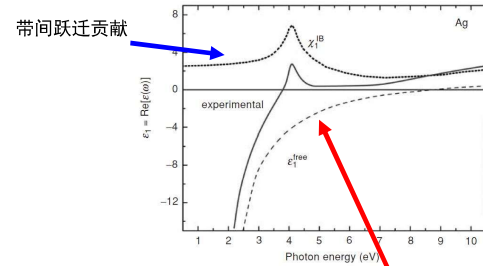
Au的介电函数谱

- 等离子体频率与理论值不一致
- 介电函数实部有峰值
- 在高频部分介电常数虚部很大

为什么?

20

## 实际金属介电函数谱——自由电子+束缚电子



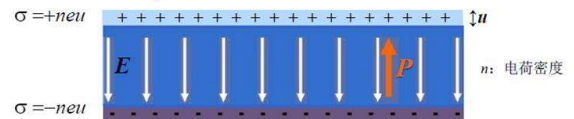
自由电子Drude模型

实验曲线 = Drude模型 + 带间跃迁Lorentz模型

22

## 体积等离子体共振

我们考虑一下在 $\omega_p$ 处的大块金属薄板:



- 电子整体相对于正电荷背景发生了位移  $u$
- 在金属板两侧产生异号的表面电荷
- 两侧的电荷在金属板中形成均匀的电场  $E = neu/\varepsilon_0$
- 电场E为电子提供了回复力  $F = -neE$

电子的运动方程:

$$nm \frac{d^2 u}{dt^2} = -neE$$

$$nm \frac{d^2 u}{dt^2} = -\frac{n^2 e^2 u}{\varepsilon_0}$$

$$\Rightarrow \frac{d^2 u}{dt^2} + \omega_p^2 u = 0$$

$\omega_p$  是体积等离子体激元的固有频率!

$$\omega_p = \sqrt{\frac{ne^2}{\varepsilon_0 m}}$$

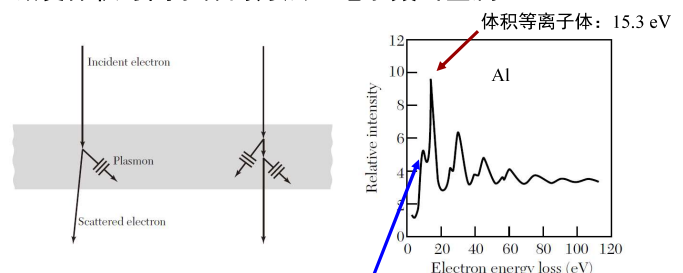
Volume (bulk) plasmon

$\omega_p$  is on the order of 5 - 15 eV,

26

## 体积等离子体共振——特征

▶ 激发体积等离子体的方法: 电子轰击金属



表面等离子体: 10.3 eV

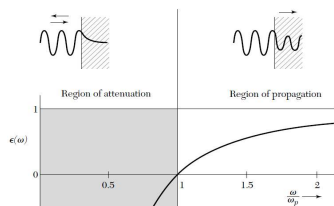
电子能量损失谱 (EELS), 用于等离子体, 能量损失值1-50 eV。

28



## 体积等离子体共振——模式

- 当  $\omega > \omega_p$  横模 (EM wave) 光透过金属—电子不能做出迅速响应来屏蔽入射光
- 当  $\omega = \omega_p$  纵模 (volume plasmons, non-EM wave)
- 当  $\omega < \omega_p$  没有扩散波(场快速衰减, 趋肤深度  $\delta$ )

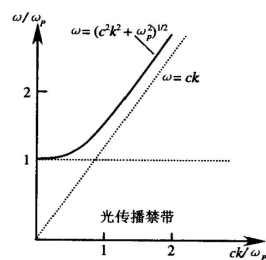


光被金属反射—电子屏蔽入射光电场  
反射率接近于1

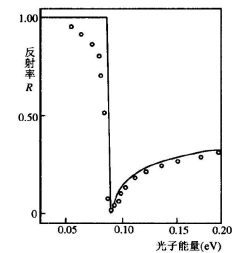
## 体积等离子体共振——光在等离子中的色散曲线

$$\left. \begin{aligned} \epsilon &= \frac{c^2}{\omega^2} k^2 \\ \epsilon &= 1 - \frac{\omega_p^2}{\omega^2} \end{aligned} \right\} \Rightarrow \omega = \sqrt{c^2 k^2 + \omega_p^2} \quad v_g = \frac{d\omega}{dk} = \frac{c^2 k}{\sqrt{c^2 k^2 + \omega_p^2}} = \begin{cases} 0, & k=0 \\ c, & k=\infty \end{cases}$$

$k=0$  对应  $\omega = \omega_p$ , 群速度为零, 不传播能量

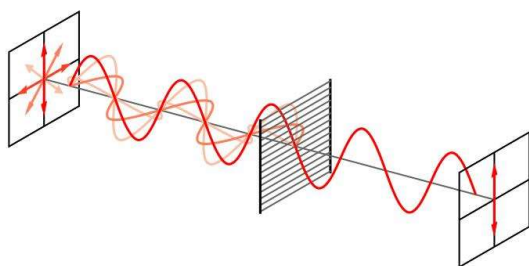


等离子体中光的色散曲线



垂直入射下 n 型 InSb 光学反射谱

## 正常光栅

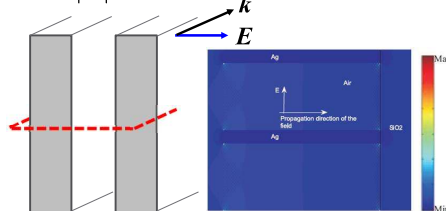


垂直于光栅方向电场透过, 平行于光栅方向电场反射——金属线偏振片

## 原理是什么?

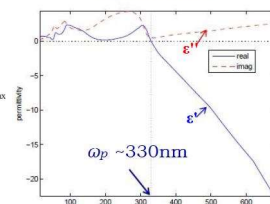
## 正常光栅

- 原理: 边界条件决定的
- 正常光栅工作的光频率低于等离子体频率  $\omega < \omega_p$
- 介电常数  $\epsilon = \epsilon' + i\epsilon''$
- $|\epsilon'| > 1$



$$D_m = D_a \Rightarrow \epsilon' E_m = E_a \Rightarrow |E_a| \gg |E_m|$$

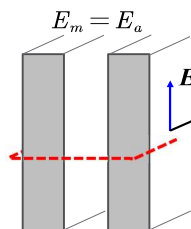
光从间隙穿过, 具有很大的透射率



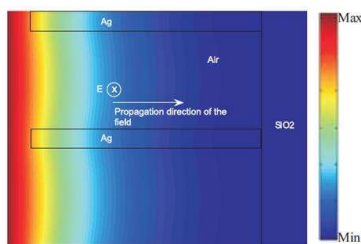
33

34

## 正常光栅

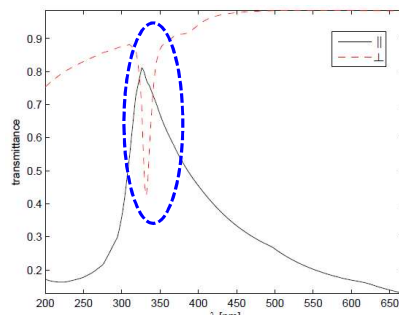


- 空气和金属中电场相同、
- 性质由金属控制
- 整个光栅类似一块金属板
- 强反射



35

## 反常现象

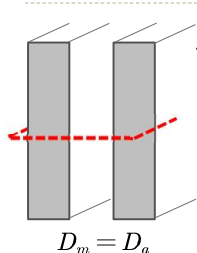


Reference:

A. Lehmuskero, B. Bai, P. Vahimaa, and M. Kuittinen, "Wire-grid polarizers in the volume plasmon region," Opt. Express 17, 5481-5489 (2009).

36

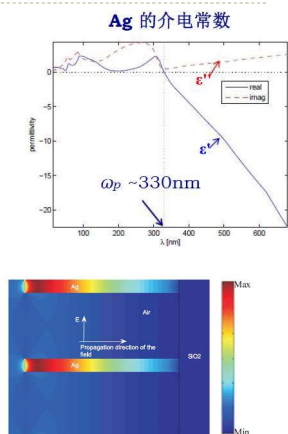
## 反常现象



等离子体频率附近  
 $\epsilon \rightarrow 0$

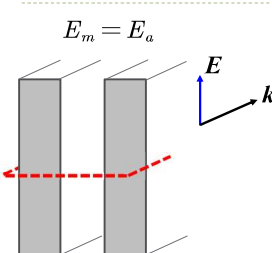
$$\Rightarrow \epsilon E_m = E_a \Rightarrow |E_m| \gg |E_a|$$

- 光在金属中传输存在一定损耗
- 光透过光栅后能量极大的减小了
- 透射率比较低

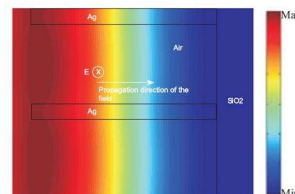


37

## 反常现象



- 金属和空气中电场大小相同
- 整体还是表现为金属板
- 等离子体频率附近,  $\epsilon''$  较小
- 金属类似介质
- 光通过金属后衰减相对较小
- 光具有较大的透射率



38